

直列柱の空力特性に関する基礎的研究

京都大学 正員 白石成人
京都大学 正員 白川博通

京都大学 正員 松本勝
京都大学 学生員 真下英人
京都大学 学生員 ○佐川信之

本研究は多導体送電線や斜張橋ケーブルのような主流方向に並んだ2本円柱における、上流側円柱の後流内で出現する下流側円柱の差動的な空力振動現象(wake galloping)について考察を加えるものである。物体の後流領域内における気流の状態は、乱れの強さが非常に大きくかつストロハル数成分を中心とした近傍において、その変動成分のパワーワークの大半が集中する独自の変動風速スペクトル分布をもつてこれに加え、これらの乱れ特性と主流方向平均風速分布が後流内で不均質である特性を有するものと考えられる。一方 wake gallopingに関するこれまでの研究報告によれば、後流内における乱れ特性の主たる原因は、風上側に位置する物体が放出する交番渦と漏えい渦からが、反にこの交番渦が wake galloping を生起させるものとされ、一種の共振現象に基づく空力振動がより限定された風速のみで発生するものと見えらる。ところが実際はあくまでも複数の超音速風速域における不足であり、かつ後流域の内外の物体が往復するごとに大振幅振動である。したがって後流領域の乱れ特性が wake galloping を支配する要因であるとは言へばなく、むしろ主流方向の平均風速がより分布すもち、この中で物体が振動するかしないかやる非対称風速分布中の運動がこの現象に直接関連があるものだと見えられる。

本研究では Fig. 1 のように上流側円柱を固定し、下流側円柱の相対位置を変化させ wake galloping と呼ばれる空力現象を風洞内に再現し、その応答特性を調べた。

wake galloping と思われる応答が起きたのは $(3d, 0^\circ)$ および $(3d, 4^\circ)$ の 2 ケースの

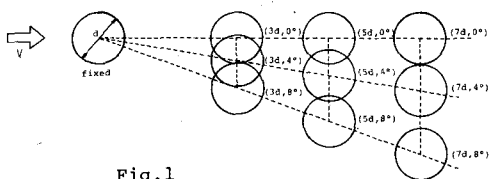


Fig. 1

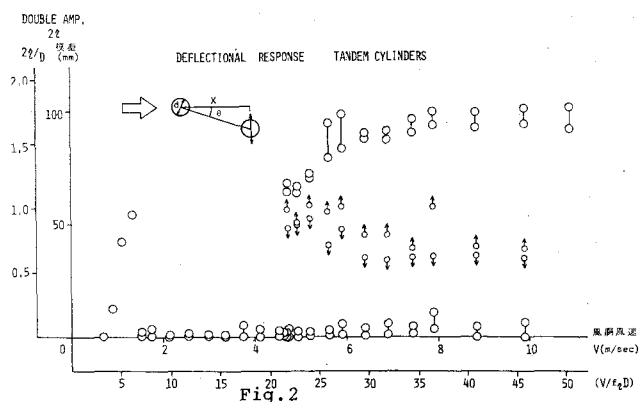


Fig. 2

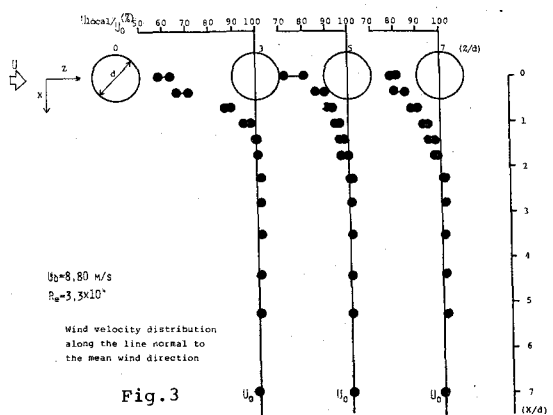


Fig. 3

めであり)、(3d 0°)においては Fig. 2 のように固定および不固定シリットサイクルをもつ流れが現れてくる。Fig. 3 は 8.80 等の風洞風速における円柱の後流およびその周辺の主流方向平均風速分布である。この風速分布から、たる流れ内におかれた円柱に作用する揚力と近似的につぎのように表す。

$$U_2 > D_2 \text{ とすれば Bernoulli の式より } \frac{1}{2} P D_2^2 + P = \frac{1}{2} P D_1^2 + P_1 \quad \therefore P < P_1$$

$$P_d + L - P_d = 0 \quad \therefore L = (P_1 - P) d = \frac{1}{2} P (D_1^2 - D_2^2)$$

つまり 2 点の風速差の差が大きくなるほど揚力は大きくなるからである。円柱間隔 3d の風速勾配が 5d や 7d に比べて大きくなる(图 1)。5d や 7d で wake galloping が起こり得るためには、振動を生じるために十分な風速勾配が現れていなければならぬと判断される。また非対称流れの発生にあたっては、本研究では並列 2 本円柱を用いた。つまり左図において $D_1 < D_2$

$< D_2$ の關係があらわされ、円柱間隔は変えてみると、 D_1 が D_2 との間で変化する。Fig. 4 および 5 は、円柱間隔の変化に対する固定円柱附近(円断面の中心から距離 d の位置)の風速および固定円柱に働く定常座圧力の測定結果である。2 本の円柱間に働く力が働く。その間隔が小さくなるほど、力は大きくなる。これらがこれまで前記したように円柱の両側の風速差が大きくなる円柱が受けける座圧力が大きくなるから容易に理解できる。さらに非対称流れ中ににおける変動座圧力特性を調べるために、座圧力波出用のモルタルを固定し、他の円柱は正常的に並べて(1)遠ざけたりするなどにようして、非対称流れを発生させ、その非対称座圧力特性を測定した。

2: では非対称座圧力と変位と速度のみの関数と多項式、座圧力周波数応答関数 $X(\omega), Y(\omega)$ を用いて以下のように表す。

$$\angle = \frac{1}{2} P D D \frac{\partial C}{\partial S} (X_R + i X_I) + \frac{1}{2} P D D^2 \frac{\partial^2 C}{\partial S^2} (Y_R + i Y_I) \quad /$$

$$= A(X_R + i X_I) + B(Y_R + i Y_I) = (A X_R - B Y_I) + i(A X_I + B Y_R)$$

Fig. 6 は $\phi - k$ 図を示す。 $(\tan \phi = A X_R + B Y_R / A X_R - B Y_I) = \phi = \pm 45^\circ$ で wake galloping が起る。たる風速域では変位に対する座圧力の位相差 ϕ は正で位相先行に 180° である。wake galloping が起る。たる風速域においても $\phi > 0$ であるが、これは振動の発生が座圧力の位相と捕獲域の位相のバランスで左右されるところによると思われる。

